

где $\Delta n_i = n_i - n_0$.

С относительной погрешностью (12) имеем на основании (7)

$$D = \frac{p_1}{P_0} - \frac{t_1}{T_0}, \quad D_1 = \frac{p_2}{P_0} - \frac{t_2}{T_0}. \quad (15)$$

Учитывая (15) и сохранив прежнюю относительную точность на оценке влияния каждой из ошибок dT_0, dt_1, dt_2 на аппликату z_k формулу (14) запишем окончательно так:

$$dz'_k = -\frac{(1+z'^2)(n_0-1)z_t}{z_t' n_0} \left[(D+D_1 z_t) \frac{dt_2}{T_0} + (dt_1 + z_t dt_2) \frac{1}{T_0} - (dp_1 + z_t dp_2) \frac{1}{P_0} \right]. \quad (16)$$

Выполняя суммирование (8) после подстановки в нее (16), приходим с пренебрегаемой погрешностью $z'_t = \operatorname{ctg} \xi$, где ξ — среднее значение зенитного расстояния вдоль световой кривой, и используем выражение

$$\begin{aligned} \Delta z &\approx \Delta x \operatorname{ctg} \xi, \quad z_t = i \Delta z, \\ \sum_{l=1}^{l=k-1} i &= k(k-1)/2, \quad \sum_{l=1}^{l=k-1} l^2 = k(k-1)(2k-1)/6, \\ \sum_{l=1}^{l=k-1} z_l^2 &\approx \Delta z^2 \sum_{l=1}^{l=k-1} l^2, \quad \sum_{l=1}^{l=k-1} z_l \approx \Delta z \sum_{l=1}^{l=k-1} l. \end{aligned}$$

После некоторых преобразований формула (16) имеет вид

$$dz_k = -\frac{(n_0-1)(k-1)x_k^2}{2n_0 k \sin^2 \xi} \left[(D+D_1 \frac{2k-1}{3k} z_k) \frac{dT_0}{T_0} + \frac{dt_1}{T_0} - \frac{dp_1}{P_0} + \frac{2k-1}{3k} z_k \left(\frac{dT_2}{T_0} - \frac{dp_2}{P_0} \right) \right]. \quad (17)$$

В знаменателе выражения перед квадратной скобкой можно принять $n_0 = 1$.

Чтобы получить значения dp_1, dp_2 дифференцируем (3):

$$dp_1 = \frac{P_0}{T_0} dT_0, \quad dp_2 = -\frac{2p_2}{T_0} dT_0 - \frac{p_1}{2T_0} dt_1. \quad (18)$$

Принимая во внимание (12), (15), (18) и пренебрегая членами, содержащими малый коэффициент ρ_2 , представим (17) следующей группой формул:

$$dz_k^T = dz_k^T + dz_k^t + dz_k^p,$$

$$dz_k^T = -\frac{(n_0-1)(k-1)x_k^2}{2kT_0 \sin^2 \xi} \left[\frac{2p_1}{P_0} - \frac{t_1}{T_0} - \frac{(2k_1-1)zk t_2}{3kT_0} \right] dT_0,$$

$$dz_k^t = -\frac{(n_0-1)(k-1)x_k^2}{2kT_0 \sin^2 \xi} dt_1,$$

$$dz_k^p = -\frac{(n_0-1)(2k-1)(k-1)x_k^2 z_k}{3k^2 T_0 \sin^2 \xi} dt_2.$$

Аналогичным образом получаем формулы для оценки влияния на аппликату z_k ошибок измеренного давления P_0 и зенитного расстояния ξ :

$$dz_k^{P_0} = \frac{(n_0-1)(k-1)x_k^2}{2kP_0 \sin^2 \xi} \left[\frac{2p_1}{P_0} - \frac{t_1}{T_0} - \frac{(2k-1)z_k t_2}{3kT_0} \right] dP_0,$$

$$dz_k^\xi = -\frac{x_k}{\sin^2 \xi} d\xi.$$

Величины dT_0, dt_1, dt_2 являются функциями случайных ошибок измерения температуры T_j на уровнях h_j . Средние квадратические значения этих величин как функций средней квадратической ошибки σ_T измерения температуры получим по известным правилам оценки точности при решении по способу наименьших квадратов системы уравнений вида (4), определяющих T_0, t_1 и t_2 .

При априорной оценке значения σ_T следует, наряду с инструментальной составляющей, учесть ошибку репрезентативности результатов измерений.

1. Хижак Л. С., Иосифук Н. Д., Фурс М. М. Определение уравнения световой кривой по результатам геодезических и метеорологических измерений. Геодезия, картография и аэрофотосъемка, 1985, № 43, с. 110—113. 2. Хижак Л. С., Диодух И. И., Яскюла Н. Б. Об одном методе нахождения уравнения световой кривой. Тез. докл. VI Всесоюз. симп. по распространению лазерного излучения в атмосфере. — Томск, 1981, к. 3, с. 114—117.

Статья поступила в редакцию 04.05.85

УДК 523.558

С. Н. ХОДОРОВ

ТЕХНИКО-ЭКОНОМИЧЕСКИЙ АНАЛИЗ МНОГОРАЗРЯДНЫХ ГЕОДЕЗИЧЕСКИХ ПОСТРОЕНИЙ С УЧЕТОМ КРИТЕРИЯ НИЧТОЖНОСТИ ВЛИЯНИЯ ОШИБОК ИСХОДНЫХ ДАННЫХ

Критерием, обуславливающим ничтожное влияние ошибок исходных данных на ошибки измерений в соответствующих стадиях развития геодезического обоснования при проектировании многоразрядных геодезических построений, является коэффициент обеспечения точности k , который в общем случае характеризуется отношением ошибок измерений к ошибкам исходных данных. В гео-

дезической литературе значение коэффициента представляется различными авторами от 1,1 до 9,0 с учетом того, что чем больше коэффициент обеспечения точности, тем меньше влияние ошибок исходных данных. Поэтому в практике создания многоступенчатых геодезических построений значения указанного коэффициента иногда необоснованно завышают, руководствуясь соображениями улучшения точностных параметров сетей. Однако с возрастанием

Таблица 1
Расчет средних квадратических ошибок положения пунктов многоразрядных геодезических построений

k	m_i , см								
	$n=2$		$n=3$		$n=4$				
	$i=1$	$i=2$	$i=1$	$i=2$	$i=3$	$i=1$	$i=2$	$i=3$	$i=4$
$\sqrt{2}$	5,8	8,2	3,8	5,3	7,5	2,6	3,7	5,2	7,3
2	4,5	8,9	2,2	4,4	8,7	1,1	2,2	4,3	8,7
3	3,2	9,5	1,0	3,1	9,4	0,3	1,0	3,1	9,4
4	2,4	9,7	0,6	2,4	9,7	0,15	0,6	2,4	9,7
5	2,0	9,8	0,4	2,0	9,8	0,08	0,4	2,0	9,8

коэффициента обеспечения точности существенно повышаются затраты на производство геодезических работ, что не всегда принимается во внимание.

Цель настоящей статьи — установление зависимостей между точностными и стоимостными показателями многоразрядных геодезических построений.

Стоймость — адекватное выражение точности произведенных геодезических измерений. Однако общее решение задачи по нахождению взаимосвязей между ошибками измерений и затратами на них отыскать трудно. Поэтому предлагаем метод приближенного определения взаимосвязей для сетей многоразрядной триангуляции.

Выполним предрасчет точности для двух-, трех- и четырехразрядных триангуляционных построений при различных значениях коэффициента обеспечения точности k по формуле [5]

$$m_i = \sqrt{1 + k^2 + k^4 + \dots + k^{2(n-1)}}, \quad (1)$$

где m_0 — заданная точность построения геодезического обоснования; m_i — средняя квадратическая ошибка в положении пункта соответствующего разряда; n — количество разрядов обоснования; i — порядковый номер разряда. При этом для масштаба съемки 1:500 $m_0 = 10$ см. Результаты расчетов по (1) приведены в табл. 1.

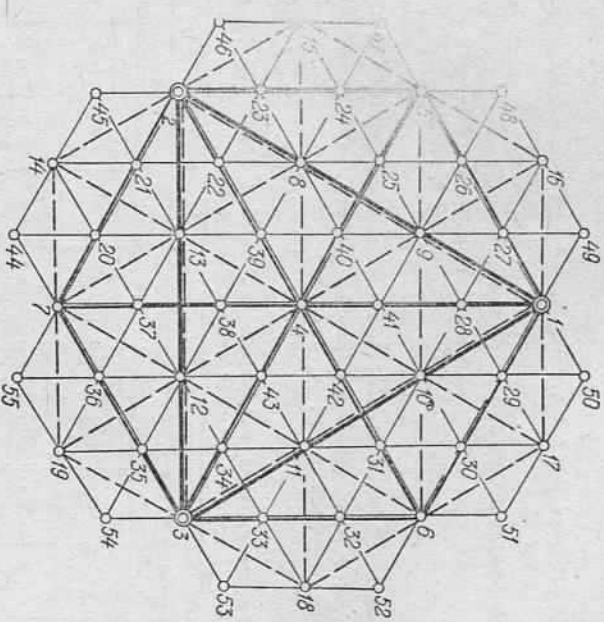
Полагая далее в известной формуле для оценки точности триангуляции

$$\frac{m_s^2}{S^2} = \frac{m_b^2}{2} + \frac{m_b^2}{b^2} \cdot \frac{2}{3} \sum_{i=1}^N (\operatorname{ctg}^2 A_i + \operatorname{ctg}^2 B_i + \operatorname{ctg} A_i \operatorname{ctg} B_i), \quad (2)$$

углы A , B и C равными 60° , получаем

$$\frac{m_s^2}{S^2} = \frac{m_b^2}{b^2} + \frac{2}{3} \left(\frac{m_b^2}{\rho} \right) N, \quad (3)$$

где $\frac{m_s}{S}$ — относительная средняя квадратическая ошибка длины



Модель четырехразрядной сети триангуляции.

связующей стороны; m_b — средняя квадратическая ошибка измеренного угла; N — число треугольников от исходной до искомой стороны; $\frac{m_b}{b}$ — относительная средняя квадратическая ошибка исходной стороны.

Дальнейшие выкладки ограничим следующими соображениями.

1. Приближенно считаем, что

$$\frac{m_s}{S} \approx \frac{m_i}{S}. \quad (4)$$

2. Учтем, что стороны исходного (предыдущего) разряда триангуляции определены в k раз точнее, чем последующего. В этом случае

$$\frac{m_b}{b} = \frac{m_i}{kS}. \quad (5)$$

3. Для исследуемой модели сети четырехразрядной триангуляции (см. рисунок) вследствие симметричности расположения

пунктов поэтапно спущаемых сетей число треугольников N от стороны высшего разряда построения к нижнему равно единице.

4. Стороны соответствующего разряда сети принятые одинаковыми, их длины для двухстадийных построений равны 3 и 1,7 км для трехстадийных — 3, 1,7 и 1 км, для четырехстадийных — 3, 1,7; 1 и 0,6 км.

С учетом (4) и (5) соотношение (3) примет вид

$$\frac{2}{3} \frac{m_p^2}{\rho^2} = \frac{m_p^2}{S^2} \left(1 - \frac{1}{k^2} \right), \quad (6)$$

из которого легко получить

$$m_p = 1,22 \frac{m_p \rho''}{S} \sqrt{k^2 - 1}.$$

По (7) в табл. 2 рассчитаны средние квадратические ошибки измерения угла в различных разрядах триангуляционных построений при заданных значениях k .

Расчет средних квадратических ошибок измерения угла многоразрядных геодезических построений

k	m_p, \dots							
	$n=2$	$n=3$		$n=4$				
$i=1$	$i=2$	$i=1$	$i=2$	$i=3$	$i=1$	$i=2$	$i=3$	$i=4$
$\sqrt{2}$	3,5	8,6	2,3	5,6	13,4	1,6	3,9	9,4
	3,3	11,5	1,6	5,6	19,0	0,8	2,8	9,4
	2,5	13,2	0,8	4,3	22,2	0,2	1,4	7,3
	1,9	14,0	0,5	3,4	23,7	0,1	0,9	5,8
	1,7	14,2	0,3	2,9	24,2	0,07	0,3	4,9

Выполненные расчеты средних квадратических ошибок измерения угла в различных разрядах триангуляционных построений поставим в зависимость от стоимости C измерения углов. Поскольку в действующих нормативных документах измерителем при угловых измерениях является пункт, определим стоимость независимо от числа наблюдаемых направлений, предполагая, что значения их на каждом из рассматриваемых пунктов одинаково. Значения стоимостей отождествляем с расценками на измерение углов в одном пункте триангуляции разных классов и разрядов. Для определения указанных расценок из [2] выбирали нормы времени, соответствующие третьей категории трудности производимых работ, а расчетные ставки работников определяли из таблиц, приведенных в [1].

Соотнося вычисляемые расценки для одного пункта триангуляции I—IV классов и первого-второго разрядов со средними квадратическими ошибками измерения угла в триангуляции

же классов и разрядов, регламентируемых инструкциями [3, 4], получаем взаимосвязь точности и стоимости:

$$m_p, \dots, C, \text{ руб.}$$

0,7	82,2
1,0	49,8
1,5	25,0
2,0	13,0
5,0	3,3
10,0	2,5

Таким образом, из анализа этих зависимостей следует, что между m_p и C существует обратная связь, которая достаточно точно аппроксимируется уравнением гиперболы третьего порядка. Определяя параметры этого уравнения по способу наименьших квадратов, получаем эмпирическую формулу

$$C = 2,36 - \frac{11,22}{m_p} + \frac{83,57}{m_p^2} - \frac{25,53}{m_p^3}. \quad (8)$$

Расчет стоимостных показателей многоразрядных геодезических построений по (8) при различных значениях k и n приведен в табл. 3. Отметим, однако, что для малых значений аргумента

Таблица 3

k	Расчет стоимости многоразрядных геодезических построений							
	$n=2$		$n=3$		С. руб.			
$i=1$	$i=2$	$i=1$	$i=2$	$i=3$	$i=1$	$i=2$	$i=3$	$i=4$
$\sqrt{2}$	5,4	2,2	11,2	2,9	2,0	21,8	4,5	2,1
	5,9	2,0	21,8	2,9	2,0	69,0	7,8	2,1
	9,6	2,0	69,1	4,0	2,0	161,0	27,7	2,1
	15,9	2,0	113,7	5,6	2,0	58,0	2,8	2,1
	19,5	2,0	146,1	7,4	2,0	181,5	146,1	3,3

m_p в интервале $0,1 \dots 0,5''$ применение аппроксимационного полинома (8) приводит к неудовлетворительным результатам. Поэтому для указанного интервала выполнено последовательное экспериментальное определение назад с использованием интерполяционной формулы Ньютона-Грегори [6].

Выполненные расчеты показывают, что в зависимости от принятого коэффициента обеспечения точности трехступенчатая схема геодезического обоснования требует в 2—7 раз больше затрат, чем двухстадийное построение сети, а четырехразрядное спусжение сечи удорожает работы в 2—3 раза по сравнению с трехстадийными схемами обоснования. На порядок по сравнению с двухстадийными схемами обоснования.

При переходе от одного из рассматриваемых в табл. 3 значений к другому стоимость измерений может возрастать примерно в 1,2—2,8 раза и при значениях k , равных 4 и 5, затраты на производство измерений достигают значительных величин.

В конечных разрядах геодезического обоснования стоимостные показатели значительно уменьшаются и практически не прорастаются, что объясняется потерей точности этих построений.

Таким образом, при выборе коэффициента обеспечения точности и решении вопроса о количестве стадий геодезического обоснования, а также для оценки технической целесообразности многоразрядных геодезических построений следует руководствоваться и экономическими критериями.

- Бажанов К. В., Беспалов Н. А., Брыкин П. А. и др. Экономика топографо-геодезического производства. — М.: Недра, 1982. — 160 с. 2. Единые нормы выработки (времени) на геодезические и топографические работы: Полевые работы. — М.: Недра, 1982. — 231 с. 3. Инструкция о построении государственной геодезической сети СССР. — М.: Недра, 1966. — 341 с. 4. Инструкция по топографо-геодезическим работам при инженерных изысканиях для промышленного, сельскохозяйственного, городского и поселкового строительства (СН 212—73). — М.: Стройиздат, 1974. — 152 с. 5. Левук Г. П., Новак В. Е., Кончаков В. Г. Примкадная геодезия: Основные методы и принципы инженерно-геодезических работ. — М.: Недра, 1981. — 438 с. 6. Филаков П. Ф. Численные и графические методы прикладной математики. — К.: Наук. думка, 1970. — 799 с.

Статья поступила в редакцию 09.04.85

УДК 528.32+666.94
Т. Г. ШЕВЧЕНКО, Н. И. КРАВЦОВ, С. Г. ХРОПОТ

ОПРЕДЕЛЕНИЕ ФОРМЫ КРУПНОГАБАРИТНЫХ ПОЛЫХ КОРПУСОВ

Контроль прямолинейности технологических и рабочих осей агрегатов и машин требует особого внимания в инженерно-геодезическом обеспечении монтажа или ремонта оборудования. Важное значение он приобретает во время ремонта крупногабаритных агрегатов, поскольку узлы и детали агрегатов подвержены действию больших нагрузок и сильно изнашиваются при эксплуатации, утрачивая первоначальные проектные размеры и форму. К таким узлам относятся валы турбин, помольных агрегатов и агломерационных машин, корпуса холодильников, обжиговых и спекальных печей. При этом закрепление опорных линий и измерения непрямой линейности осей и валов представляет собой менее трудоемкую и сложную операцию, чем контроль непрямолинейности корпусов, для которого необходимо определять размеры и форму деталей. Для определения формы и размеров валов имеется достаточно количество соответствующих устройств и приборов [1, 5]. Однако для измерений корпусов число их весьма ограничено [2, 4]. Следует отметить, что методы измерений непрямолинейности для

валов не всегда пригодны для измерений непрямолинейности корпусов. В частности, закрепление опорных линий вне корпуса приводит к значительному снижению точности контроля, опорную линию закрепляют внутри корпуса центрами тяжести двух контурных кривых, образованных внутренней поверхностью корпуса в его поперечных сечениях. Точность контроля во многом зависит от точности отыскания названных центров. По существу,

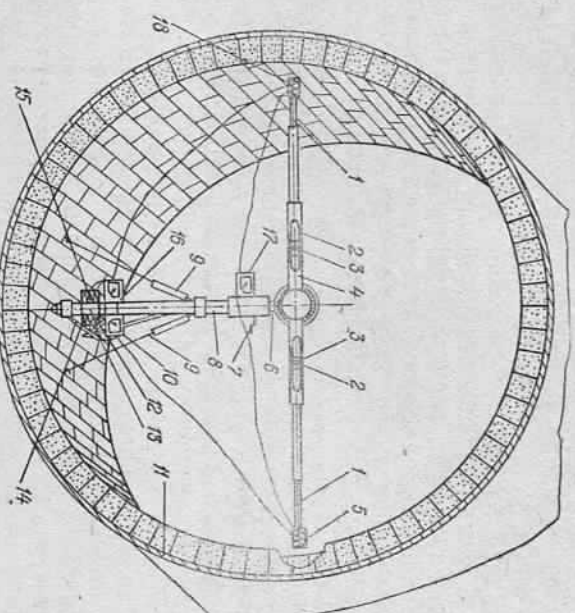


Схема устройства для контроля формы крупногабаритных корпусов.

вующей методике центры находят путем непосредственного контакта измерительного органа с металлом корпуса [3, 4]. Однако корпуса эксплуатируемых спекальных и обжиговых агрегатов, мельниц, холодильников и т. д., как правило, футеруются внутри огнеупорным материалом, поэтому в этих случаях удаляют часть футеровки в четырех диаметрально противоположных местах и устанавливают устройство для нахождения центра сечения так, чтобы нижний конец его стойки и концы измерительного органа касались металла корпуса. Центр тяжести сечения находит по четырем его точкам, что не обеспечивает требуемой точности. Удалять же футеровку в сечении полностью дорого и отнимает много времени. При контроле прямолинейности корпуса средних размеров это составляет около суток.

Описанные недостатки можно устранить с помощью предлагаемой методики и средств для реализации бесконтактного определения центра тяжести сечения. Для этого в конструкцию известного устройства для нахождения центра тяжести сечения введены индуктивные датчики (см. рисунок).